

Indice

Sezione A: Clima ondoso dei settori di costa

- | | | |
|------|--|---------|
| 3.4) | <u>Settore costiero C4: C.po Palinuro – C.po S. Vito</u> | pag. 2 |
| 3.5) | <u>Settore costiero C5: C.po Gallo – C.po Granitola</u> | pag. 8 |
| 3.6) | <u>Settore costiero C6: Marsala – C.po S. Alessio</u> | pag. 14 |
| 3.7) | <u>Settore costiero C7: C.po Murro di Porco – P.ta Alice</u> | pag. 21 |

3.4 Settore costiero C4: C.po Palinuro - C.po S.Vito

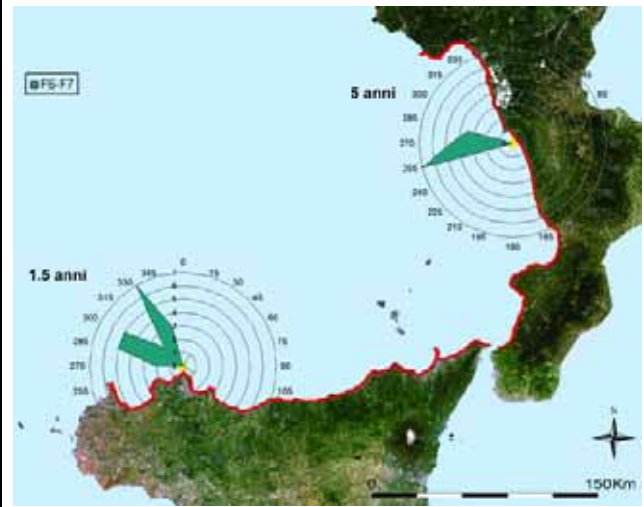
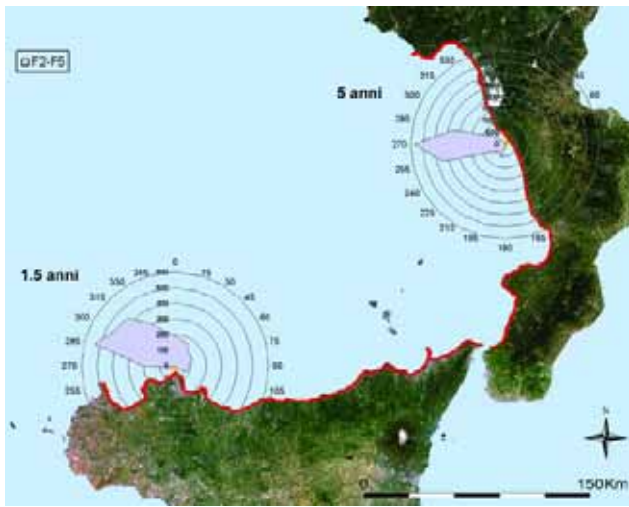


Fig 3.4.1 Rappresentazione delle tabelle a doppia entrata H_{m0} - α Tab 1.51 e Tab 1.59 - onde basse - tratto costiero da C.po Palinuro a C.po S.Vito – dati triorari, periodo: intero

Fig 3.4.2 Rappresentazione delle tabelle a doppia entrata H_{m0} - α Tab 1.51 e Tab 1.59 - onde medie - tratto costiero da C.po Palinuro a C.po S.Vito – dati triorari, periodo: intero

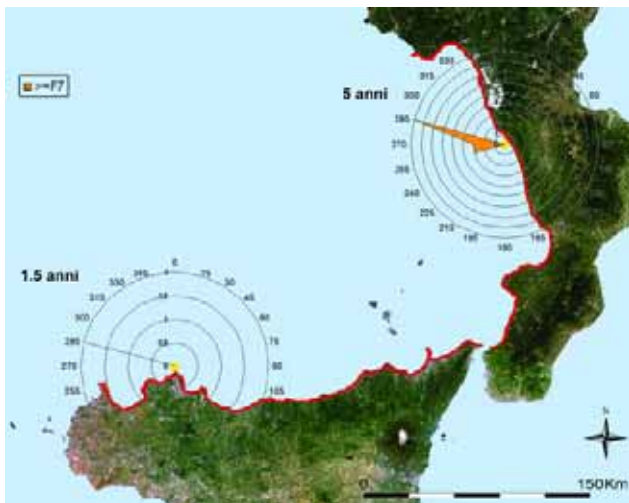


Fig 3.4.3 Rappresentazione delle tabelle a doppia entrata H_{m0} - α Tab 1.51 e Tab 1.59 - onde alte - tratto costiero da C.po Palinuro a C.po S.Vito – dati triorari, periodo: intero

Fig 3.4.4 Media annuale del flusso lordo di energia in Kw/m per settori direzionali di 15° - tratto costiero da C.po Palinuro a C.po S.Vito – dati triorari, periodo: intero

Inverno



Fig 3.4.5 Rappresentazione delle tabelle a doppia entrata $H_{m0}-\alpha$ Tab 1.52 e Tab 1.60 - onde basse - tratto costiero da C.po Palinuro a C.po S.Vito – dati triorari, periodo: inverno



Fig 3.4.6 Rappresentazione delle tabelle a doppia entrata $H_{m0}-\alpha$ Tab 1.52 e Tab 1.60 - onde medie - tratto costiero da C.po Palinuro a C.po S.Vito – dati triorari, periodo: inverno

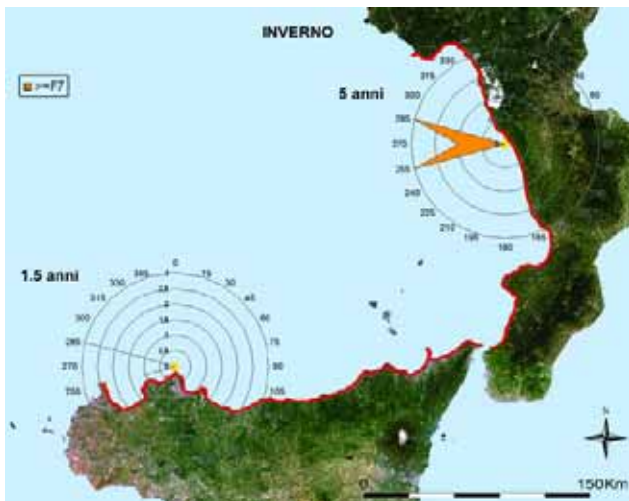


Fig 3.4.7 Rappresentazione delle tabelle a doppia entrata $H_{m0}-\alpha$ Tab 1.52 e Tab 1.60 - onde alte - tratto costiero da C.po Palinuro a C.po S.Vito – dati triorari, periodo: inverno



Fig 3.4.8 Media annuale del flusso lordo di energia in Kw/m per settori direzionali di 15° - tratto costiero da C.po Palinuro a C.po S.Vito – dati triorari, periodo: inverno

Primavera

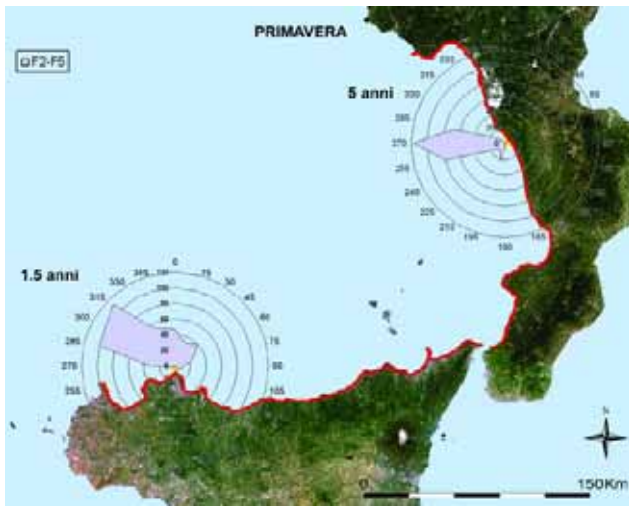


Fig 3.4.9 Rappresentazione delle tabelle a doppia entrata $H_{m0}-\alpha$ Tab 1.53 e Tab 1.61 - onde basse - tratto costiero da C.po Palinuro a C.po S.Vito – dati triorari, periodo: primavera

Fig 3.4.10 Media annuale del flusso lordo di energia in Kw/m per settori direzionali di 15° - tratto costiero da C.po Palinuro a C.po S.Vito – dati triorari, periodo: primavera

Estate

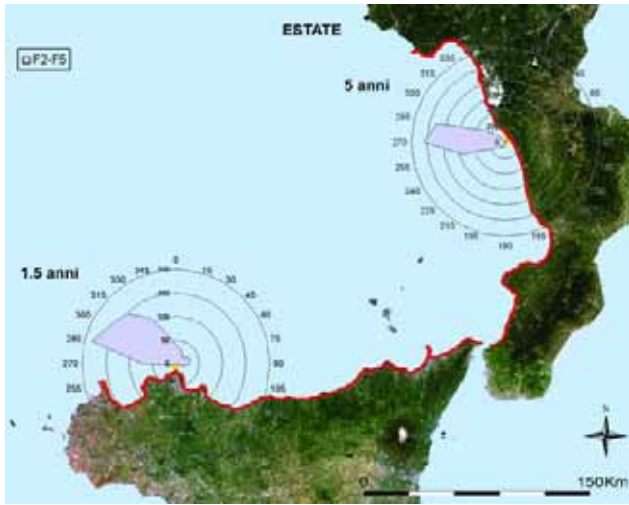


Fig 3.4.11 Rappresentazione delle tabelle a doppia entrata $H_{m0}-\alpha$ Tab 1.54 e Tab 1.62 - onde basse - tratto costiero da C.po Palinuro a C.po S.Vito – dati triorari, periodo: estate

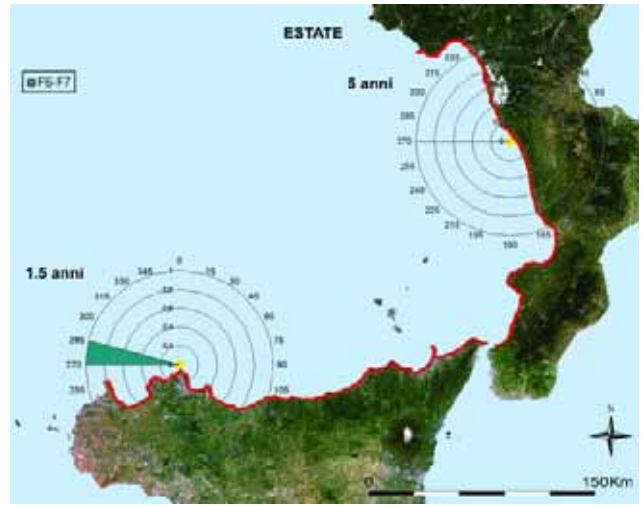


Fig 3.4.12 Rappresentazione delle tabelle a doppia entrata $H_{m0}-\alpha$ Tab 1.54 e Tab 1.62 - onde medie - tratto costiero da C.po Palinuro a C.po S.Vito – dati triorari, periodo: estate



Fig 3.4.13 Media annuale del flusso lordo di energia in Kw/m per settori direzionali di 15° - tratto costiero da C.po Palinuro a C.po S.Vito – dati triorari, periodo: estate

Autunno

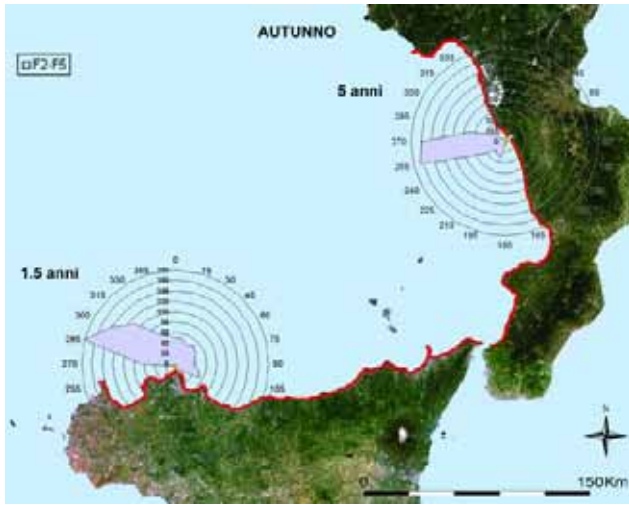


Fig 3.4.14 Rappresentazione delle tabelle a doppia entrata H_{m0} - α Tab 1.55 e Tab 1.63 - onde basse - tratto costiero da C.po Palinuro a C.po S.Vito – dati triorari, periodo: autunno

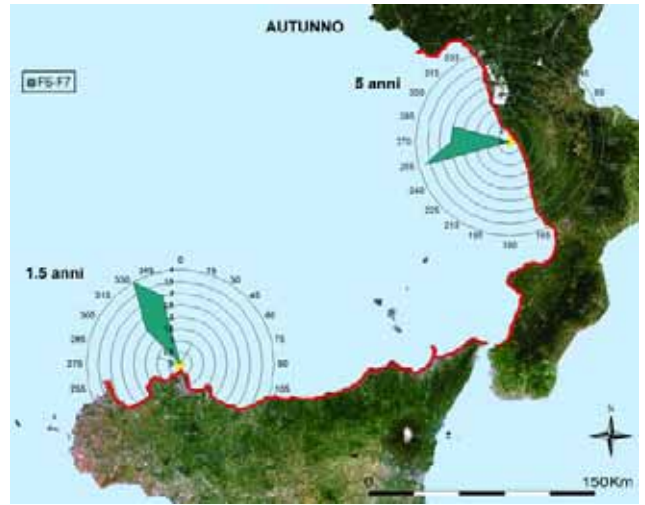


Fig 3.4.15 Rappresentazione delle tabelle a doppia entrata H_{m0} - α Tab 1.55 e Tab 1.63 - onde medie - tratto costiero da C.po Palinuro a C.po S.Vito – dati triorari, periodo: autunno



Fig 3.4.16 Rappresentazione delle tabelle a doppia entrata H_{m0} - α Tab 1.55 e Tab 1.63 - onde alte - tratto costiero da C.po Palinuro a C.po S.Vito – dati triorari, periodo: autunno



Fig 3.4.17 Media annuale del flusso lordo di energia in Kw/m per settori direzionali di 15° - tratto costiero da C.po Palinuro a C.po S.Vito – dati triorari, periodo: autunno

Settore costiero C4

Lungo il settore costiero C4 da Capo Palinuro e Capo S. Vito le serie temporali a disposizione sono lunghe rispettivamente 5 anni e 1.5 anni, per il tratto di costa calabrese (Cal-1) e quello siciliano (Sic-1). Si rende dunque necessario premettere che le indicazioni che si possono trarre dall'analisi dei climi ondosi nel lungo tratto costiero della Sicilia Occidentale hanno carattere di indicazione generale e dovranno essere riesaminate appena saranno a disposizione insiemi di dati più consistenti.

Dall'analisi della Tab.1.51, che rappresenta la distribuzione in frequenza degli eventi ondosi per classi di direzione, si deduce che la direzione principale di provenienza delle onde, è da Ovest 270°N , con un intervallo di direzioni che va da 250°N a 290°N (Figg.3.4.1-3.4.3). Nel tratto costiero della Sicilia nord-occidentale (Sic-1) sembra caratterizzarsi almeno nel range delle onde basse e medie una direzione caratteristica da Nord - Nord Est nelle stagioni autunnale ed invernale.

L'esiguità di dati a disposizione per questo settore costiero non consente di descrivere ed evidenziare con sufficiente confidenza un regime per le onde alte.

Le mareggiate osservate (Figg.3.21 e 3.22) provengono per la maggior parte dalla direzione Ovest, per il tratto calabrese (Cal-1). Per il tratto della costa siciliana (Sic-1) la direzione prevalente potrebbe avere una componente verso Nord Ovest (285°N).

Nel tratto calabrese della linea di costa (Cal-1) (Fig.3.21), sono state osservate mareggiate tra 6 m e 9 m di altezza d'onda significativa.

Si evidenzia la necessità di acquisire per i tratti costieri (Cal-2) e (Sic-6) le serie temporali di parametri meteomarini al fine di determinare i regimi climatologici delle onde in queste zone di rilevante interesse.

3.5 Settore costiero C5: C.po Gallo - C.po Granitola

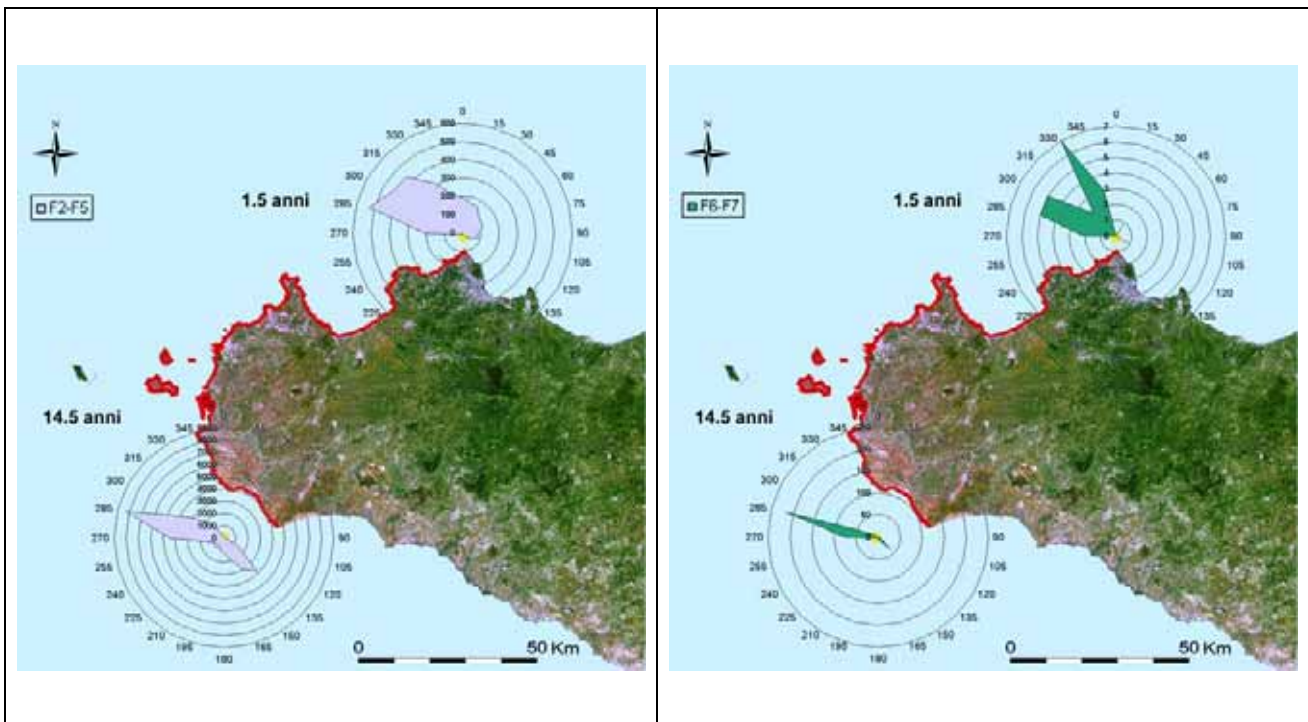


Fig 3.5.1 Rappresentazione delle tabelle a doppia entrata $H_{m0}-\alpha$ Tab 1.61 e Tab 1.71 - onde basse - tratto costiero da C.po Gallo a C.po Granitola – dati triorari, periodo: intero

Fig 3.5.2 Rappresentazione delle tabelle a doppia entrata $H_{m0}-\alpha$ Tab 1.59 e Tab 1.69 - onde medie - tratto costiero da C.po Gallo a C.po Granitola – dati triorari, periodo: intero

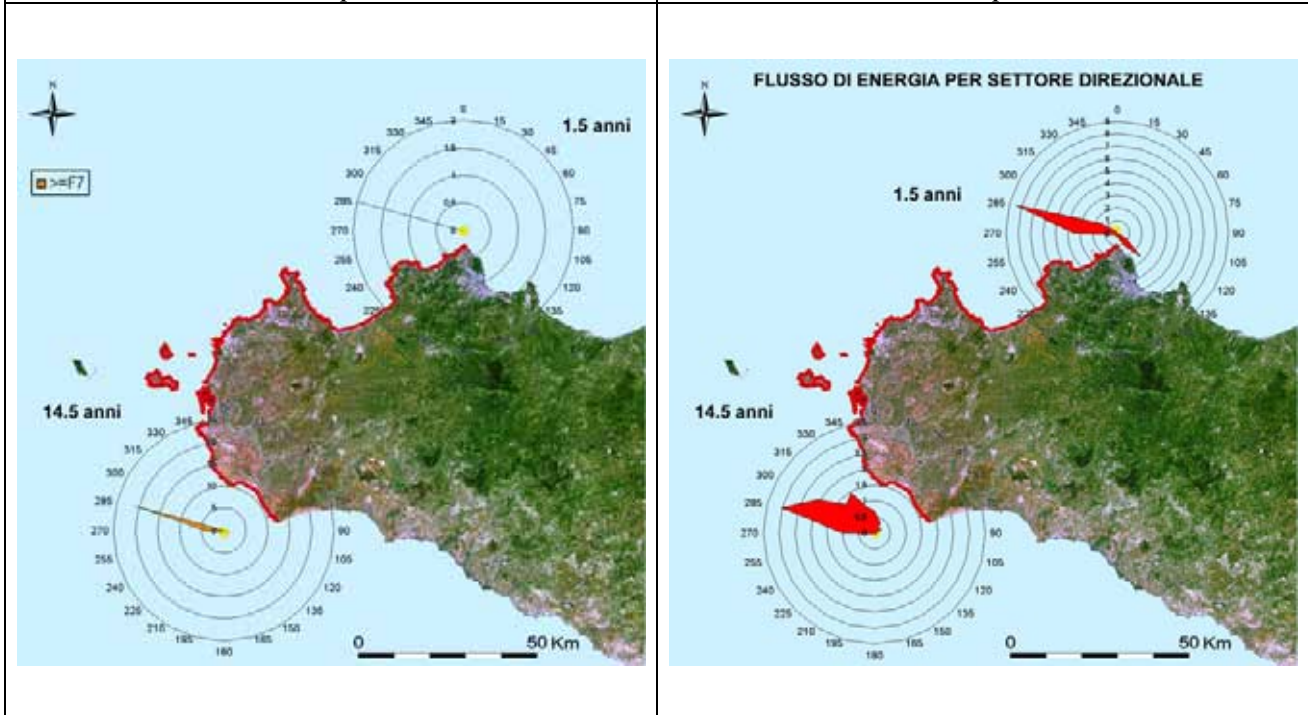


Fig 3.5.3 Rappresentazione delle tabelle a doppia entrata $H_{m0}-\alpha$ Tab 1.59 e Tab 1.69 - onde alte - tratto costiero da C.po Gallo a C.po Granitola – dati triorari, periodo: intero

Fig 3.5.4 Media annuale del flusso lordo di energia in Kw/m per settori direzionali di 15° - tratto costiero da C.po Gallo a C.po Granitola – dati triorari, periodo: intero

Inverno

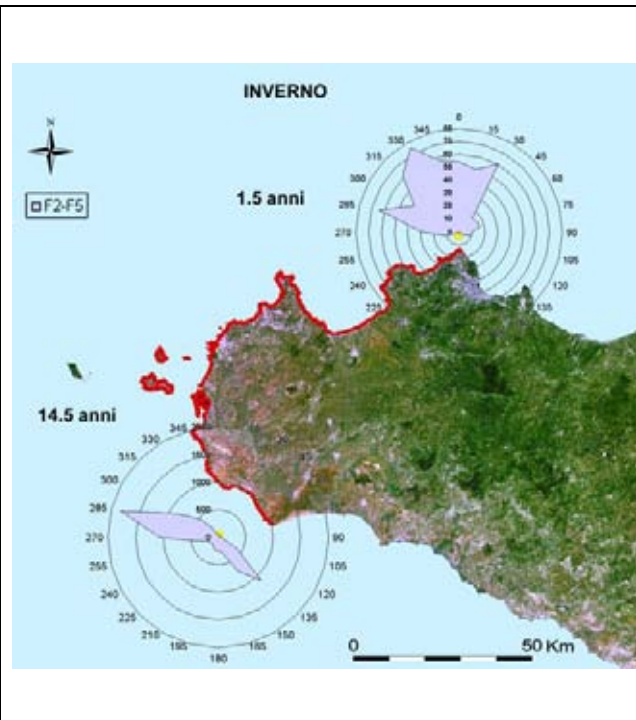


Fig 3.5.5 Rappresentazione delle tabelle a doppia entrata H_{m0} - α Tab 1.60 e Tab 1.70 - onde basse - tratto costiero da C.po Gallo a C.po Granitola – dati triorari, periodo: inverno

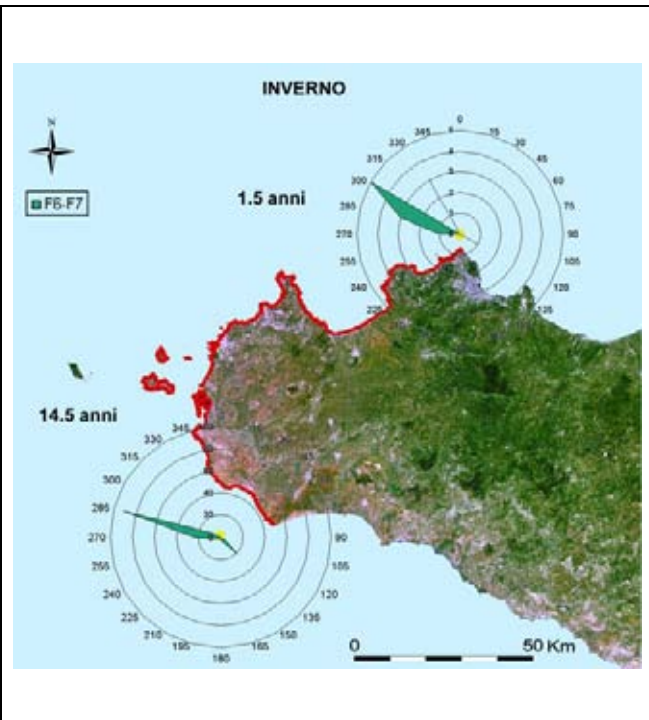


Fig 3.5.6 Rappresentazione delle tabelle a doppia entrata H_{m0} - α Tab 1.60 e Tab 1.70 - onde medie - tratto costiero da C.po Gallo a C.po Granitola – dati triorari, periodo: inverno



Fig 3.5.7 Rappresentazione delle tabelle a doppia entrata H_{m0} - α Tab 1.60 e Tab 1.70 - onde alte - tratto costiero da C.po Gallo a C.po Granitola – dati triorari, periodo: inverno

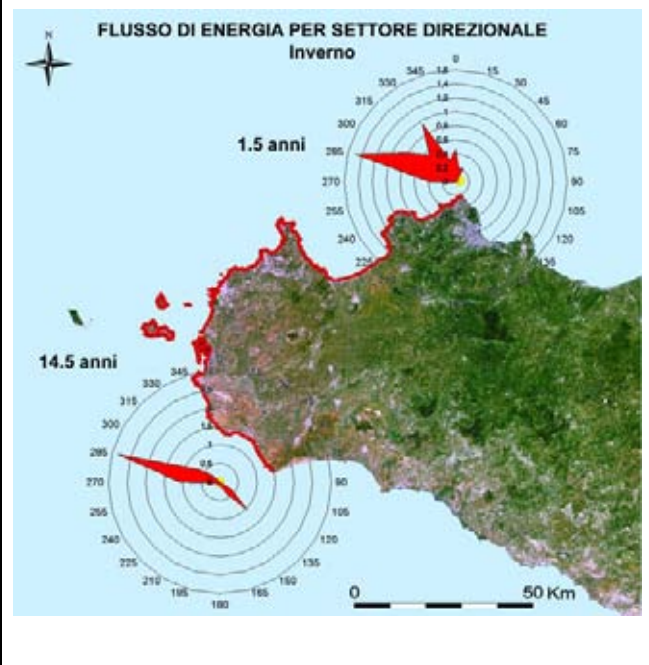


Fig 3.5.8 Media annuale del flusso lordo di energia in Kw/m per settori direzionali di 15° - tratto costiero da C.po Gallo a C.po Granitola – dati triorari, periodo: inverno

Primavera

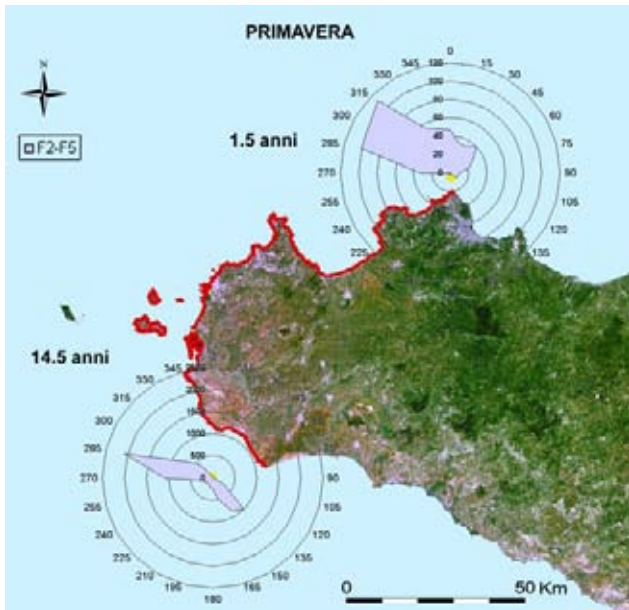


Fig 3.5.9 Rappresentazione delle tabelle a doppia entrata $H_{m0}-\alpha$ Tab 1.61 e Tab 1.71 - onde basse - tratto costiero da C.po Gallo a C.po Granitola – dati triorari, periodo: primavera



Fig 3.5.10 Rappresentazione delle tabelle a doppia entrata $H_{m0}-\alpha$ Tab 1.61 e Tab 1.71 - onde medie - tratto costiero da C.po Gallo a C.po Granitola – dati triorari, periodo: primavera



Fig 3.5.11 Media annuale del flusso lordo di energia in Kw/m per settori direzionali di 15° - tratto costiero da C.po Gallo a C.po Granitola – dati triorari, periodo: primavera

Estate

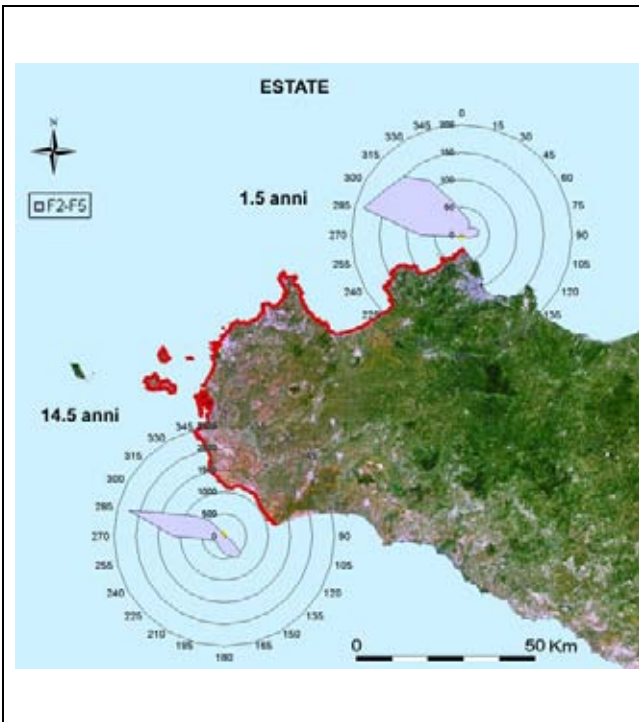


Fig 3.5.12 Rappresentazione delle tabelle a doppia entrata $H_{m0}-\alpha$ Tab 1.62 e Tab 1.72 - onde basse - tratto costiero da C.po Gallo a C.po Granitola – dati triorari, periodo: estate

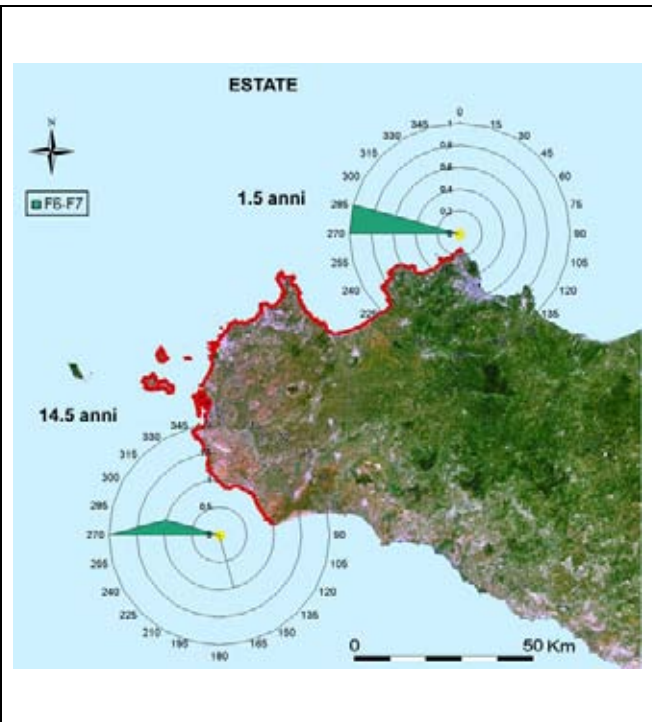


Fig 3.5.13 Rappresentazione delle tabelle a doppia entrata $H_{m0}-\alpha$ Tab 1.62 e Tab 1.72 - onde medie - tratto costiero da C.po Gallo a C.po Granitola – dati triorari, periodo: estate

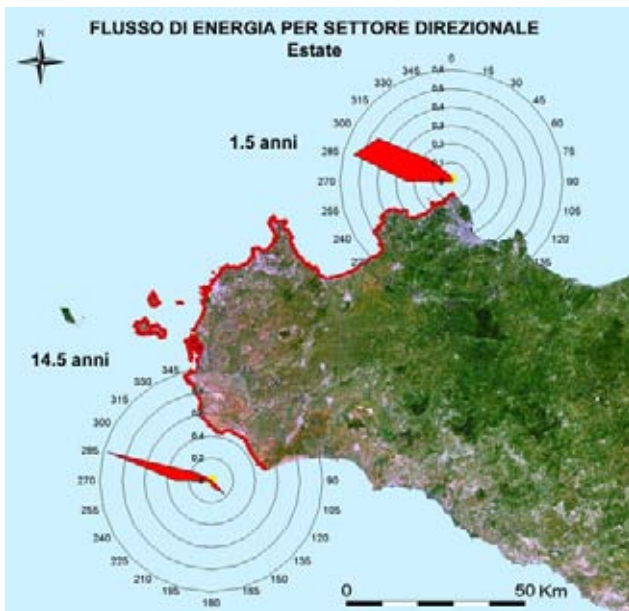


Fig 3.5.14 Media annuale del flusso lordo di energia in Kw/m per settori direzionali di 15° - tratto costiero da C.po Gallo a C.po Granitola – dati triorari, periodo: estate

Autunno

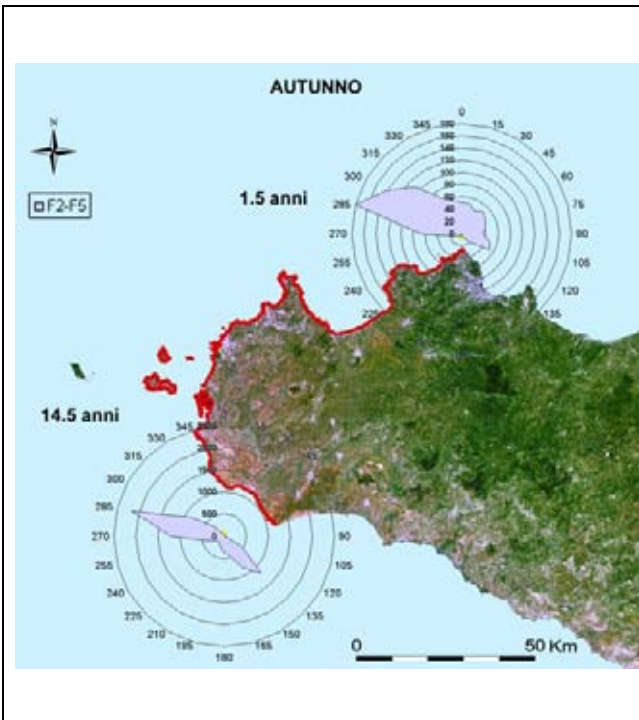


Fig 3.5.15 Rappresentazione delle tabelle a doppia entrata $H_{m0}-\alpha$ Tab 1.63 e Tab 1.73 - onde basse - tratto costiero da C.po Gallo a C.po Granitola – dati triorari, periodo: autunno

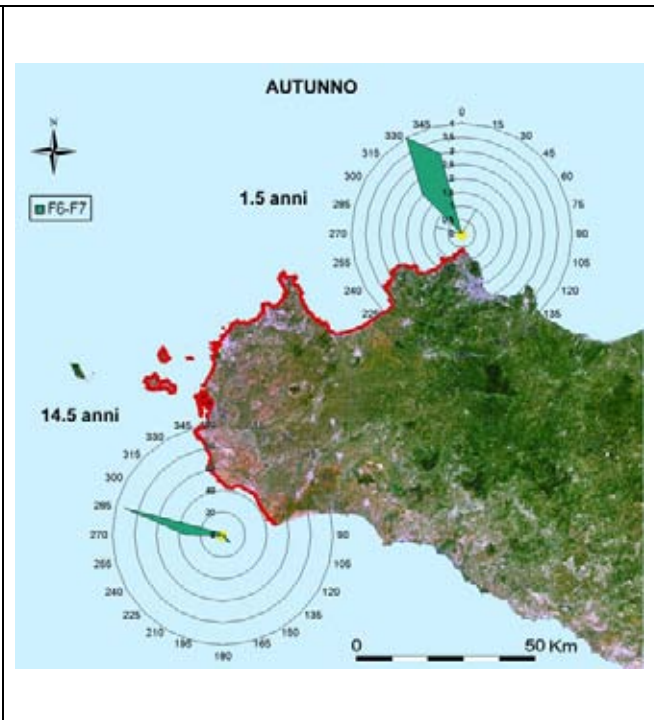


Fig 3.5.16 Rappresentazione delle tabelle a doppia entrata $H_{m0}-\alpha$ Tab 1.63 e Tab 1.73 - onde medie - tratto costiero da C.po Gallo a C.po Granitola – dati triorari, periodo: autunno



Fig 3.5.17 Rappresentazione delle tabelle a doppia entrata $H_{m0}-\alpha$ Tab 1.63 e Tab 1.73 - onde alte - tratto costiero da C.po Gallo a C.po Granitola – dati triorari, periodo: autunno

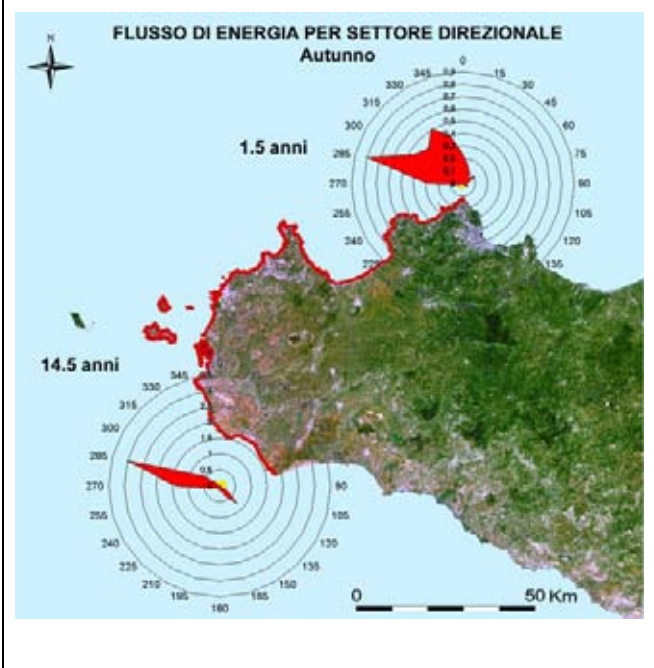


Fig 3.5.18 Media annuale del flusso lordo di energia in Kw/m per settori direzionali di 15° - tratto costiero da C.po Gallo a C.po Granitola – dati triorari, periodo: autunno

Settore costiero C5

L'analisi della distribuzione del moto ondoso per il settore di costa C5, che riguarda la parte nord occidentale della Sicilia, da Capo Gallo a Capo Granitola, si basa su due dataset lunghi rispettivamente 14.5 e 1.5 anni per la parte occidentale (Sic-3) e quella settentrionale (Sic-1) della linea di costa.

Dall'analisi della Tab.1.59 relativa alla parte settentrionale della linea di costa, è possibile individuare tre direzioni caratteristiche di provenienza delle onde:

- a) Ovest - Nord Ovest, 285°N (prevalente), compresa in un intervallo che va da 265°N a 305°N ;
- b) Sud Est, 135°N , di ampiezza compresa tra 120°N e 150°N (Figg.3.5.1 – 3.5.3). Questa direzione è presente solo sul tratto sud occidentale della costa siciliana (Sic-3) (Tabb.1.70 – 1.73).

Onde basse

Lungo il tratto settentrionale della Sicilia sono distribuite prevalentemente in un unico intervallo direzionale esteso da 280°N a 15°N (Fig.3.4.1). La direzione prevalente in tutte le stagioni è Ovest - Nord Ovest. Durante l'inverno e l'autunno (Tabb.1.63 – 1.65) la direzione caratteristica potrebbe tendere verso Nord Ovest (Tab.1.60). Nel tratto della Sicilia sud occidentale (Figg.3.5.5, 3.5.9, 3.5.12 e 3.5.15) le onde secondo Sud Est sono circa la metà dei casi secondo Ovest – Nord Ovest.

Onde medie ed alte

Nel tratto settentrionale del settore, in inverno e autunno, la direzione dominante Nord – Nord Ovest (Figg.3.4.6 e 3.4.12) (Tabb.1.60, 1.62) (Figg.3.4.2, 3.4.3) potrebbe essere ruotata a Nord Ovest (Tab.1.63) (Fig.3.4.15). Nel tratto sud occidentale della costa il regime ondoso largamente prevalente è da Ovest – Nord Ovest (Figg.3.5.6, 3.5.7, 3.5.10, 3.5.13, 3.5.16, 3.5.17).

Le mareggiate provengono principalmente dalla direzione Nord - Nord Ovest lungo l'intera linea di costa (frequenze da 3 a 5 volte maggiori rispetto alle altre direzioni). Può essere notato l'evento del 24 novembre 1991 registrato nel tratto Sic3 (Fig.3.25). La mareggiata nell'arco di 12 ore ha ruotato da 150°N a 285°N , registrando valori di H_{m0} compresi tra 4.5m e 6.2m.

3.6 Settore costiero C6: Marsala - C.po S.Alessio



Fig 3.6.1 Rappresentazione delle tabelle a doppia entrata $H_{m0}-\alpha$ Tab 1.69 e Tab 1.79 - onde basse - tratto costiero da Marsala a C.po S.Alessio – dati triorari, periodo: intero



Fig 3.6.2 Rappresentazione delle tabelle a doppia entrata $H_{m0}-\alpha$ Tab 1.69 e Tab 1.79 - onde medie - tratto costiero da Marsala a C.po S.Alessio – dati triorari, periodo: intero



Fig 3.6.3 Rappresentazione delle tabelle a doppia entrata $H_{m0}-\alpha$ Tab 1.69 e Tab 1.79 - onde alte - tratto costiero da Marsala a C.po S.Alessio – dati triorari, periodo: intero



Fig 3.6.4 Media annuale del flusso lordo di energia in Kw/m per settori direzionali di 15° - tratto costiero da Marsala a C.po S.Alessio – dati triorari, periodo: intero

Inverno



Fig 3.6.5 Rappresentazione delle tabelle a doppia entrata $H_{m0}-\alpha$ Tab 1.70 e Tab 1.80 - onde basse - tratto costiero da Marsala a C.po S.Alessio – dati triorari, periodo: inverno



Fig 3.6.6 Rappresentazione delle tabelle a doppia entrata $H_{m0}-\alpha$ Tab 1.70 e Tab 1.80 - onde medie - tratto costiero da Marsala a C.po S.Alessio – dati triorari, periodo: inverno



Fig 3.6.7 Rappresentazione delle tabelle a doppia entrata $H_{m0}-\alpha$ Tab 1.70 e Tab 1.80 - onde alte - tratto costiero da Marsala a C.po S.Alessio – dati triorari, periodo: inverno



Fig 3.6.8 Media annuale del flusso lordo di energia in Kw/m per settori direzionali di 15° - tratto costiero da Marsala a C.po S.Alessio – dati triorari, periodo: inverno

Primavera



Fig 3.6.9 Rappresentazione delle tabelle a doppia entrata $H_{m0}-\alpha$ Tab 1.71 e Tab 1.81 - onde basse - tratto costiero da Marsala a C.po S.Alessio – dati triorari, periodo: primavera



Fig 3.6.10 Rappresentazione delle tabelle a doppia entrata $H_{m0}-\alpha$ Tab 1.71 e Tab 1.81 - onde medie - tratto costiero da Marsala a C.po S.Alessio – dati triorari, periodo: primavera



Fig 3.6.11 Rappresentazione delle tabelle a doppia entrata $H_{m0}-\alpha$ Tab 1.71 e Tab 1.81 - onde alte - tratto costiero da Marsala a C.po S.Alessio – dati triorari, periodo: primavera



Fig 3.6.12 Media annuale del flusso lordo di energia in Kw/m per settori direzionali di 15° - tratto costiero da Marsala a C.po S.Alessio – dati triorari, periodo: primavera

Estate



Fig 3.6.13 Rappresentazione delle tabelle a doppia entrata $H_{m0}-\alpha$ Tab 1.72 e Tab 1.82 - onde basse - tratto costiero da Marsala a C.po S.Alessio – dati triorari, periodo: estate

Fig 3.6.14 Rappresentazione delle tabelle a doppia entrata $H_{m0}-\alpha$ Tab 1.72 e Tab 1.82 - onde medie - tratto costiero da Marsala a C.po S.Alessio – dati triorari, periodo: estate



Fig 3.6.15 Media annuale del flusso lordo di energia in Kw/m per settori direzionali di 15° - tratto costiero da Marsala a C.po S.Alessio – dati triorari, periodo: estate

Autunno

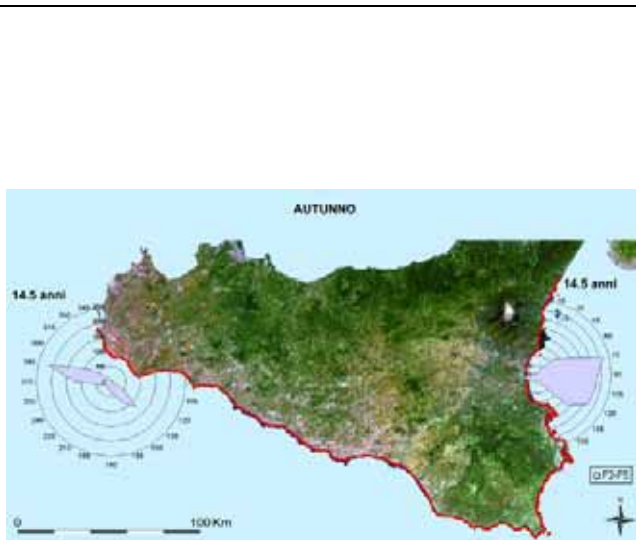


Fig 3.6.16 Rappresentazione delle tabelle a doppia entrata $H_{m0}-\alpha$ Tab 1.73 e Tab 1.83 - onde basse - tratto costiero da Marsala a C.po S.Alessio – dati triorari, periodo: autunno



Fig 3.6.17 Rappresentazione delle tabelle a doppia entrata $H_{m0}-\alpha$ Tab 1.73 e Tab 1.83 - onde medie - tratto costiero da Marsala a C.po S.Alessio – dati triorari, periodo: autunno



Fig 3.6.18 Rappresentazione delle tabelle a doppia entrata $H_{m0}-\alpha$ Tab 1.73 e Tab 1.83 - onde alte - tratto costiero da Marsala a C.po S.Alessio – dati triorari, periodo: autunno



Fig 3.6.19 Media annuale del flusso lordo di energia in Kw/m per settori direzionali di 15° - tratto costiero da Marsala a C.po S.Alessio – dati triorari, periodo: autunno

Settore costiero C6

Il settore di costa C6 comprende il tratto meridionale del litorale siciliano a partire dal lato sud - occidentale (Sic-3) fino alla costa orientale (Sic-5). L'analisi del clima ondoso si basa su serie temporali lunghe 14.5 anni in tutto il settore considerato.

Data la differente esposizione dei litorali, i climi ondosi presentano analogie e differenze. Sono presenti le direzioni caratteristiche:

- a) Ovest - Nord – Ovest, 285°N , compresa tra i 260°N e i 305°N , presente nel solo tratto sud occidentale (regime prevalente in Sic-3) (Tab.1.69);
- b) Sud – Est 135°N compreso tra i 115°N e i 170°N (Figg.3.6.1 – 3.6.3);
- c) Est, 90°N con ampio intervallo tra 35°N e 125°N , presente solo nel tratto orientale (prevalente in Sic-5) (Tab.1.79).

Onde basse

Nel tratto sud occidentale il regime Ovest - Nord Ovest è quello più frequente, mentre il Sud Est è caratteristico delle onde più basse. (Fig. 3.6.1).

Nel tratto orientale della costa siciliana è presente solo la direzione caratteristica Est, che in inverno ed autunno resta tipicamente confinata tra 70°N e 125°N (Tabb. 1.80 e 1.83, Figg. 3.6.5 e 3.6.16). In primavera (Tab. 1.81) si presenta una netta predominanza degli eventi provenienti da Nord Est (Fig. 3.6.9).

Onde medie

Nel tratto sud occidentale il regime Ovest - Nord – Ovest è largamente dominante. Non sono evidenti variazioni stagionali del regime ondoso (Tabb.1.70 – 1.73).

Lungo il tratto orientale del settore, in autunno, inverno e primavera, l'intervallo relativo alla direzione dominante Est si estende tra 70°N e 130°N (Tabb.1.80, 1.81 e 1.83, Fig.3.6.2). In estate l'intervallo si riduce a 70°N - 115°N , con il massimo delle frequenze osservate lungo la direzione 105°N (Tab.1.82).

Onde alte

Lungo il tratto sud occidentale valgono le considerazioni fatte per le onde medie. Lungo il tratto orientale le onde sono dirette principalmente da Est in un intervallo compreso tra 70°N – e 115°N (Tab.1.86, Fig.3.6.3). Non sono evidenti variazioni stagionali nella direzione.

Dall'analisi del clima ondoso si può osservare l'esistenza di una relazione tra i regimi direzionali Sud – Est del tratto costiero sud occidentale ed Est dominante nel tratto orientale. In particolare si osserva che gli eventi di mareggiata con direzione Sud-Est osservati nel tratto Sic-3 corrispondono ad eventi con direzioni Est comprese nell'intervallo tra 70°N e 115°N nel lato orientale.

Le mareggiate provenienti da Est caratterizzano climaticamente il tratto orientale del settore costiero con picchi di altezze massime di circa 6.3 m (Fig. 3.27 e 3.28). Le mareggiate provenienti da ovest (Fig. 3.27) nel tratto sud-Occidentale hanno fatto registrare valori massimi di H_{m0} intorno a 6.6 m.

3.7 Settore costiero C7: C.po Murro di Porco - P.ta Alice

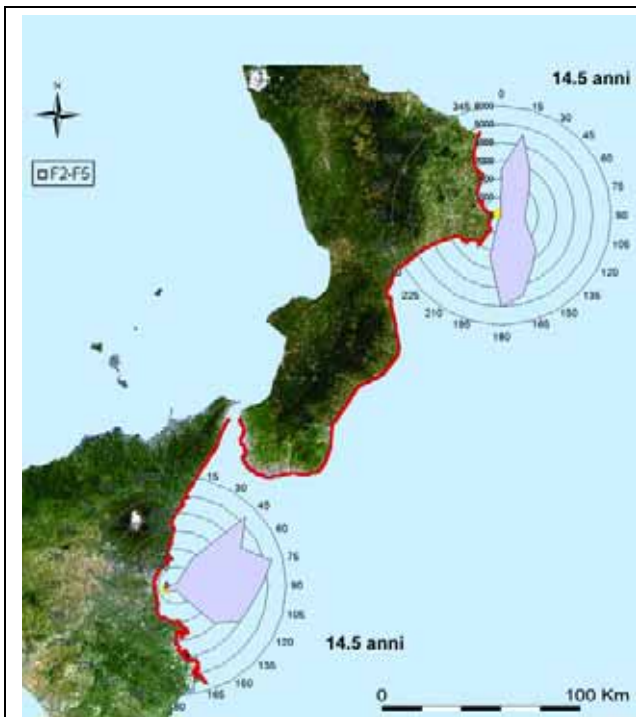


Fig 3.7.1 Rappresentazione delle tabelle a doppia entrata $H_{m0}-\alpha$ Tab 1.79 e Tab 1.88 - onde basse - tratto costiero da C.po Murro di Porco a P.ta Alice – dati triorari, periodo: intero

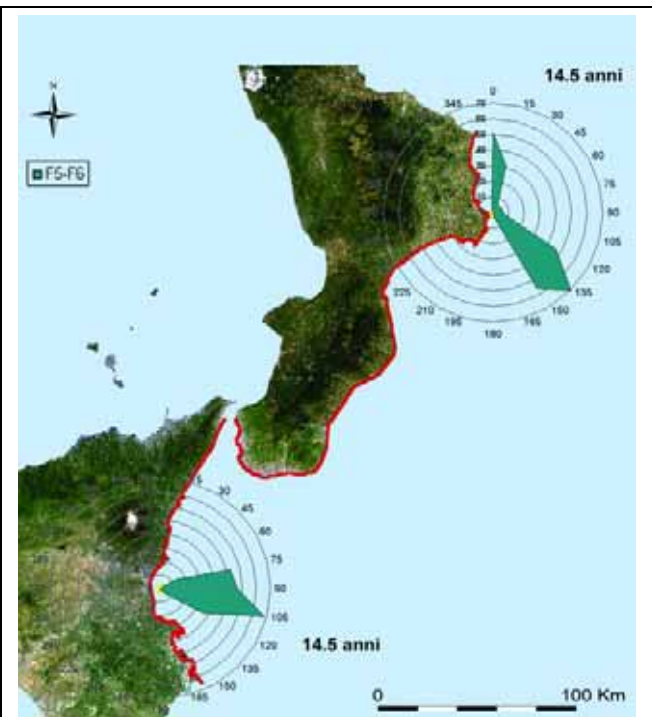


Fig 3.7.2 Rappresentazione delle tabelle a doppia entrata $H_{m0}-\alpha$ Tab 1.79 e Tab 1.88 - onde medie - tratto costiero da C.po Murro di Porco a P.ta Alice – dati triorari, periodo: intero

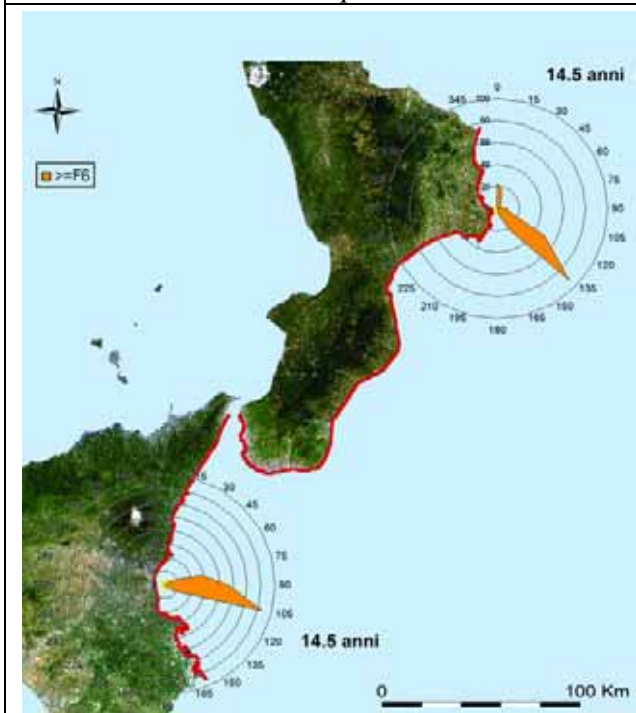


Fig 3.7.3 Rappresentazione delle tabelle a doppia entrata $H_{m0}-\alpha$ Tab 1.79 e Tab 1.88 - onde alte - tratto costiero da C.po Murro di Porco a P.ta Alice – dati triorari, periodo: intero

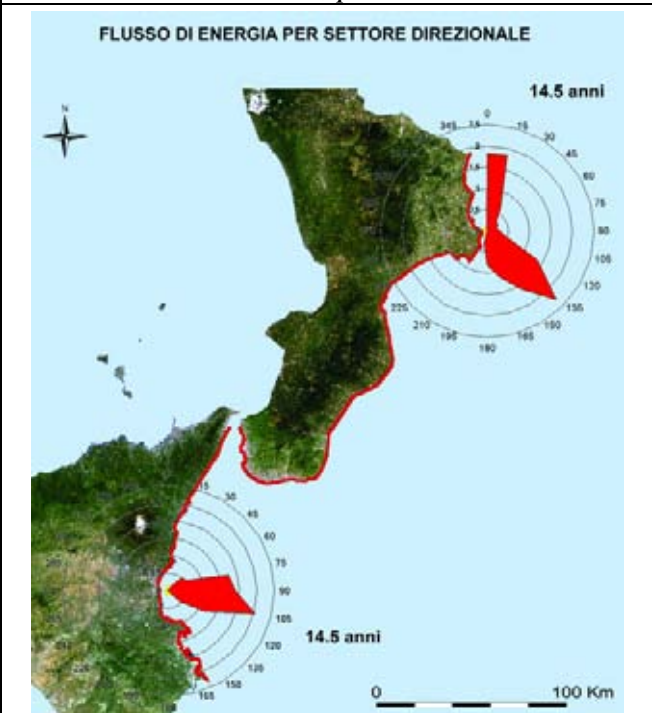


Fig 3.7.4 Media annuale del flusso lordo di energia in Kw/m per settori direzionali di 15° - tratto costiero da C.po Murro di Porco a P.ta Alice – dati triorari, periodo: intero

Inverno

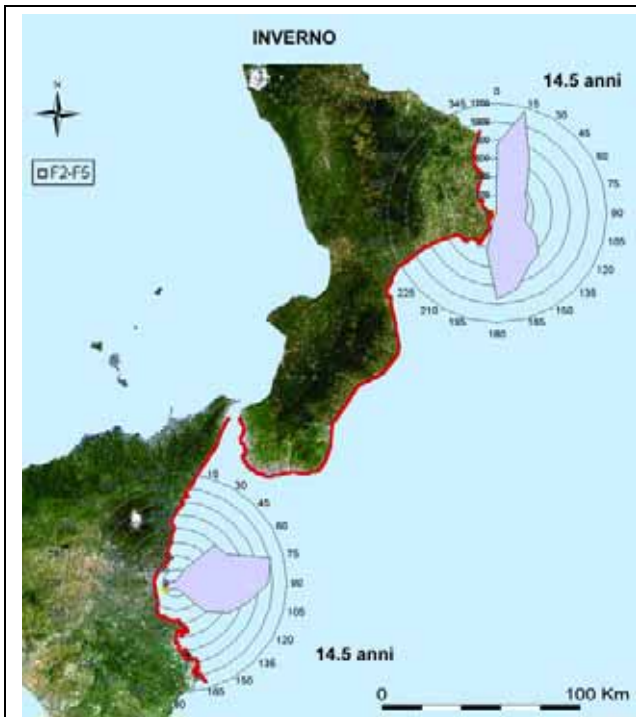


Fig 3.7.5 Rappresentazione delle tabelle a doppia entrata $H_{m0}-\alpha$ Tab 1.80 e Tab 1.89 - onde basse - tratto costiero da C.po Murro di Porco a P.ta Alice – dati triorari, periodo: inverno

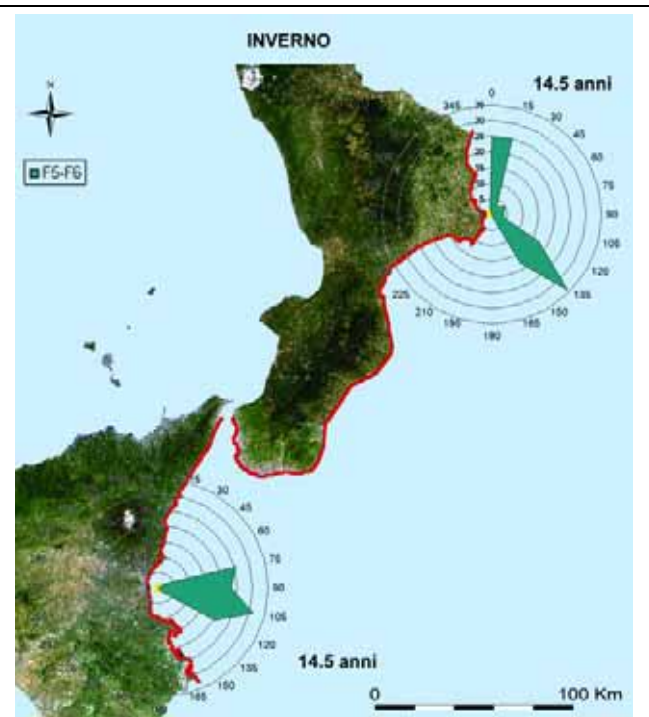


Fig 3.7.6 Rappresentazione delle tabelle a doppia entrata $H_{m0}-\alpha$ Tab 1.80 e Tab 1.89 - onde medie - tratto costiero da C.po Murro di Porco a P.ta Alice – dati triorari, periodo: inverno



Fig 3.7.7 Rappresentazione delle tabelle a doppia entrata $H_{m0}-\alpha$ Tab 1.80 e Tab 1.89 - onde alte - tratto costiero da C.po Murro di Porco a P.ta Alice – dati triorari, periodo: inverno

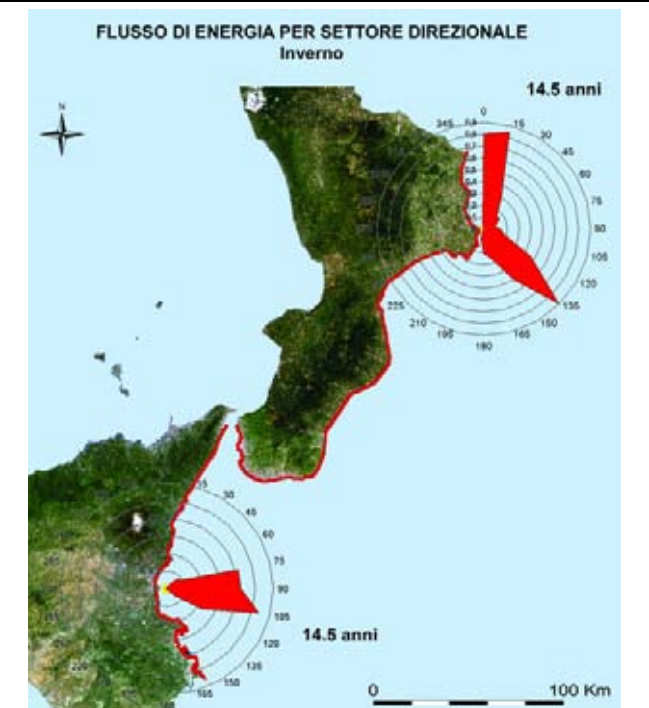


Fig 3.7.8 Media annuale del flusso lordo di energia in Kw/m per settori direzionali di 15° - tratto costiero da C.po Murro di Porco a P.ta Alice – dati triorari, periodo: inverno

Primavera

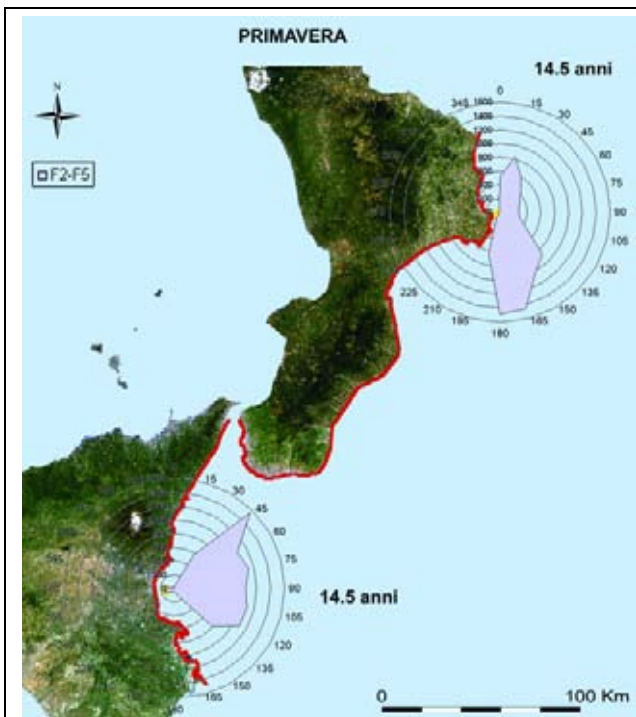


Fig 3.7.9 Rappresentazione delle tabelle a doppia entrata $H_{m0}-\alpha$ Tab 1.81 e Tab 1.90 - onde basse - tratto costiero da C.po Murro di Porco a P.ta Alice – dati triorari, periodo: primavera

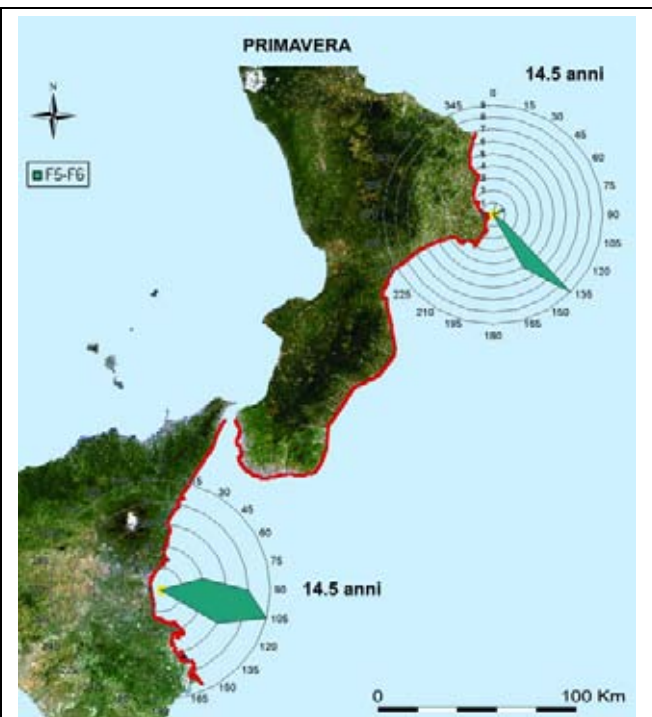


Fig 3.7.10 Rappresentazione delle tabelle a doppia entrata $H_{m0}-\alpha$ Tab 1.81 e Tab 1.90 - onde medie - tratto costiero da C.po Murro di Porco a P.ta Alice – dati triorari, periodo: primavera



Fig 3.7.11 Rappresentazione delle tabelle a doppia entrata $H_{m0}-\alpha$ Tab 1.81 e Tab 1.90 - onde alte - tratto costiero da C.po Murro di Porco a P.ta Alice – dati triorari, periodo: primavera

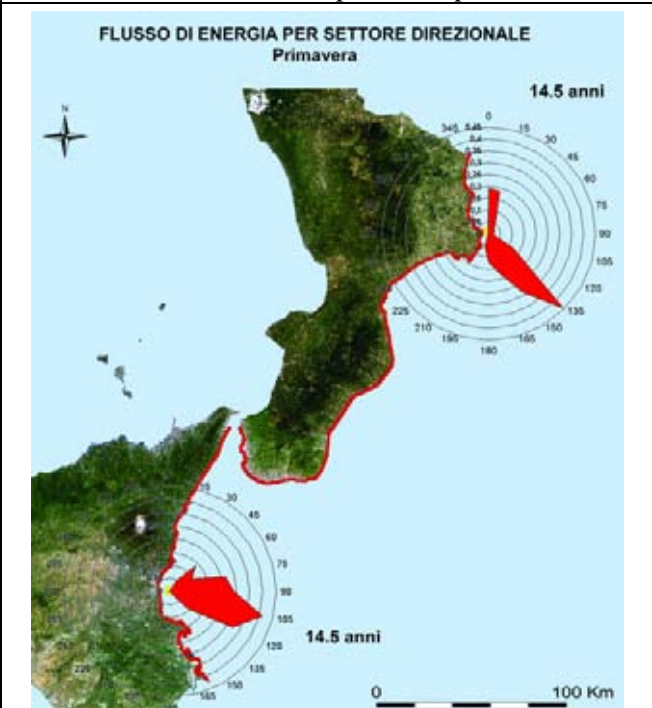


Fig 3.7.12 Media annuale del flusso lordo di energia in Kw/m per settori direzionali di 15° - tratto costiero da C.po Murro di Porco a P.ta Alice – dati triorari, periodo: primavera

Estate

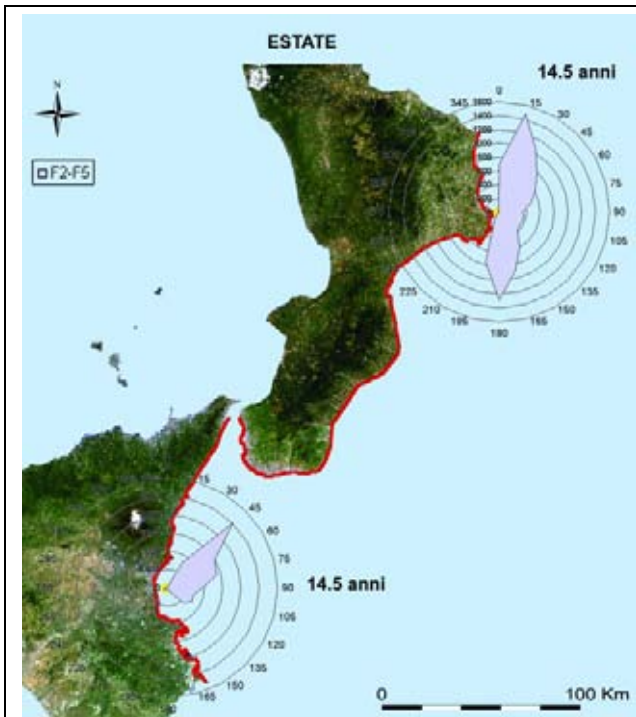


Fig 3.7.13 Rappresentazione delle tabelle a doppia entrata $H_{m0}-\alpha$ Tab 1.82 e Tab 1.91 - onde basse - tratto costiero da C.po Murro di Porco a P.ta Alice – dati triorari, periodo: estate

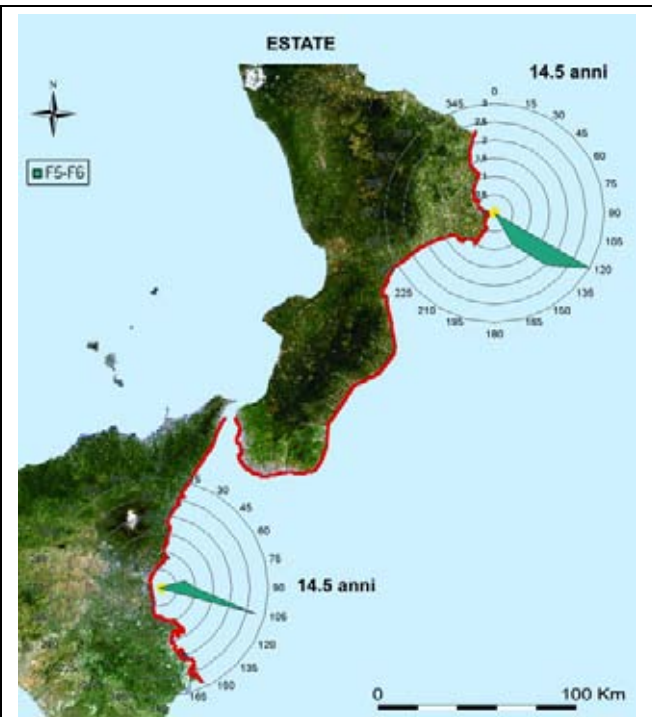


Fig 3.7.14 Rappresentazione delle tabelle a doppia entrata $H_{m0}-\alpha$ Tab 1.82 e Tab 1.91 - onde medie - tratto costiero da C.po Murro di Porco a P.ta Alice – dati triorari, periodo: estate



Fig 3.7.15 Rappresentazione delle tabelle a doppia entrata $H_{m0}-\alpha$ Tab 1.82 e Tab 1.91 - onde alte - tratto costiero da C.po Murro di Porco a P.ta Alice – dati triorari, periodo: estate

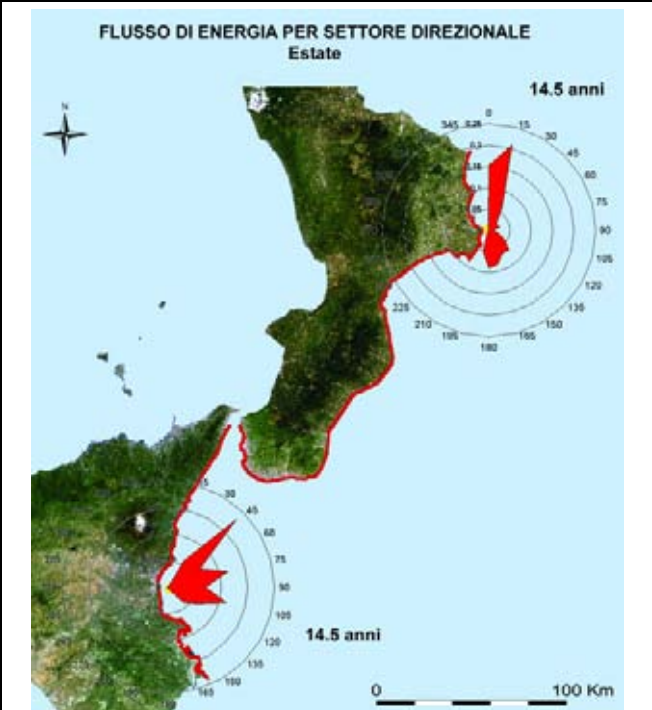


Fig 3.7.16 Media annuale del flusso lordo di energia in Kw/m per settori direzionali di 15° - tratto costiero da C.po Murro di Porco a P.ta Alice – dati triorari, periodo: estate

Autunno

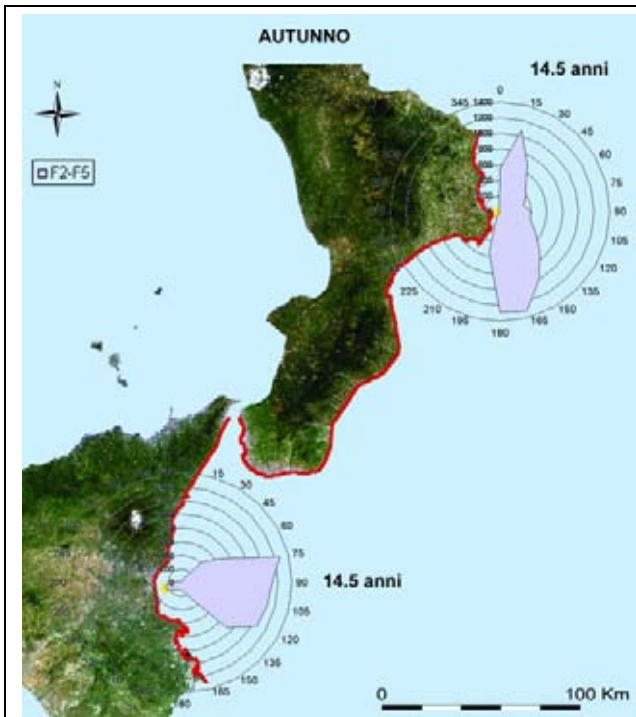


Fig 3.7.17 Rappresentazione delle tabelle a doppia entrata $H_{m0}-\alpha$ Tab 1.83 e Tab 1.92 - onde basse - tratto costiero da C.po Murro di Porco a P.ta Alice – dati triorari, periodo: autunno

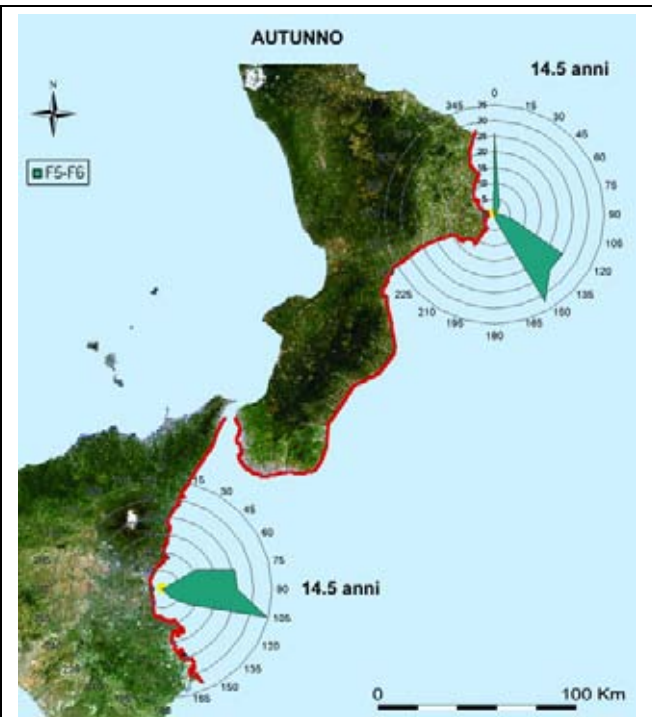


Fig 3.7.18 Rappresentazione delle tabelle a doppia entrata $H_{m0}-\alpha$ Tab 1.83 e Tab 1.92 - onde medie - tratto costiero da C.po Murro di Porco a P.ta Alice – dati triorari, periodo: autunno



Fig 3.7.19 Rappresentazione delle tabelle a doppia entrata $H_{m0}-\alpha$ Tab 1.83 e Tab 1.92 - onde alte - tratto costiero da C.po Murro di Porco a P.ta Alice – dati triorari, periodo: autunno

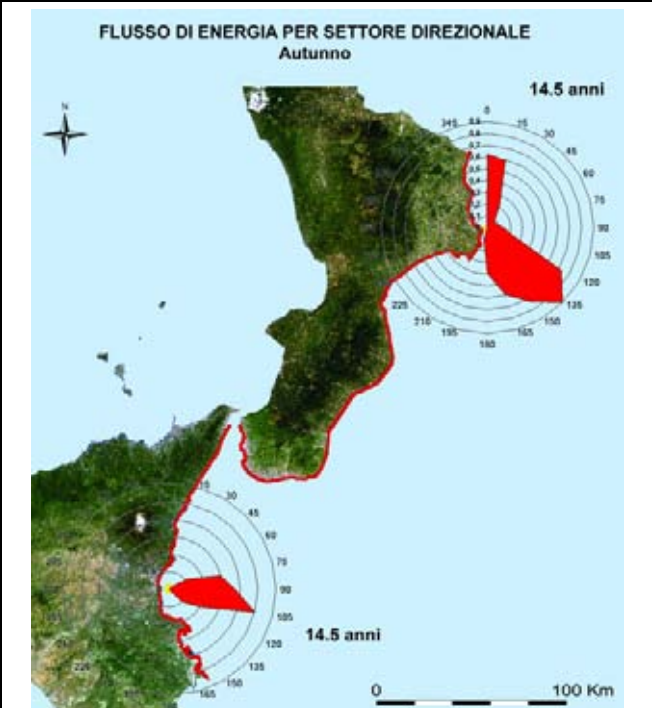


Fig 3.7.20 Media annuale del flusso lordo di energia in Kw/m per settori direzionali di 15° - tratto costiero da C.po Murro di Porco a P.ta Alice – dati triorari, periodo: autunno

Settore costiero C7

Lungo tutto il settore costiero C7, che interessa la costa ionica della Sicilia (Sic-5) e della Calabria (Cal-3) da Capo Murro di Porco a Punta Alice, la quantità di dati a disposizione per la determinazione del clima ondoso ammonta a 14.5 anni.

Le direzioni caratteristiche individuate sono:

- a) Est, 90°N , in un unico intervallo compreso tra 35°N e 125°N (Tab.1.79) (prevalente) solo lungo le coste della Sicilia orientale;
- b) Nord, 5°N , compreso tra 35°N e 125°N (Tab.1.88) lungo la costa della Calabria ionica;
- c) Sud – Sud Est, 135°N , compreso tra 110°N e 160°N lungo la costa della Calabria ionica. Il clima varia sensibilmente secondo la fascia di altezza e la stagione considerata.

Onde basse

Lungo la Sicilia Orientale in inverno ed autunno (Tabb.1.80 e 1.83) la direzione Est a) è compresa in modo abbastanza omogeneo tra i 70°N e i 125°N (Figg.3.6.5 e 3.6.16). Durante la primavera (Tab.1.81) si estende tra 35°N - 125°N con una netta preminenza del numero di casi secondo Nord-Est (maggiore del 30% rispetto ai casi da Est) (Fig.3.6.9). In estate l'intervallo direzionale si restringe sensibilmente fino a 35°N - 80°N (Tab. 1.82, Fig. 3.6.13).

Lungo le coste della Calabria ionica le onde sono osservate in entrambe le direzioni caratteristiche Nord e Sud –Sud Est. I regimi sono soggetti a marcate variazioni stagionali. In inverno il numero di eventi provenienti dalla due direzioni è all'incirca uguale, in autunno e primavera (Figg.3.7.17 e 3.7.9) il regime più attivo è da Sud, in estate è da Nord (Fig.3.7.13).

Onde medie

Lungo le coste della Sicilia orientale il regime Est si estende da 70°N a 130°N in autunno, inverno e primavera (Tabb.1.80, 1.81 e 1.83), e da 70°N a 115°N in estate (Tab.1.82).

Per le coste calabresi ioniche la direzione caratteristica Sud – Sud Est è prevalente in tutte le stagioni (Tabb.1.89 – 1.92). Il regime Nord è attivo principalmente durante l'autunno e l'inverno (Figg.3.7.6 e 3.7.18) diventando numericamente di poco inferiore rispetto alla direzione Sud – Sud Est.

Onde alte

In Sicilia orientale le onde sono dirette secondo Est nell'intervallo compreso tra 70°N e 115°N (Tab.1.84) senza evidenti variazioni stagionali (Fig.3.6.3).

Lungo le coste della Calabria ionica le onde alte hanno un comportamento analogo a quello delle onde medie, con la differenza che il numero degli eventi da Nord, presenti in autunno e in inverno, è marcatamente inferiore rispetto a quella degli eventi da Sud - Sud Est .

In Sicilia orientale i valori massimi osservati di H_{m0} arrivano poco oltre 6 m, e sono distribuiti tra Est e Sud Est (Figg.3.30 e 3.31). Lungo la costa ionica calabrese si registrano mareggiate più intense provenienti da Sud - Sud Est (6.3 m) e mareggiate provenienti da Nord con altezze intorno a 5 m. Il numero di eventi da Sud – Sud Est è sostanzialmente pari al numero di casi da Nord.